

固液混相流の乱れ特性について

信州大工 正員 富井 五郎

1)まえがき 前報¹⁾においてカオリン粒子(中央粒径 $d=6\mu$, 比重 $\gamma=2.67$, 次障速度 $W_p=0.034^m/s$)を用いた固液混相流の乱れ計測結果を示したが, 本研究では、ポリスチレン粒子($d=235\mu$, $\gamma=1.05$, $W_p=0.15^m/s$)を用いた実験結果を合わせ示す。さらに日野²⁾により導かれた混相流の乱れ特性に対する式を、粒子の相対運動によるエネルギー逸散項を入れ修正し、これにより得られた実験結果を説明する。

2)実験結果 用いた実験装置、乱れ計測法、データ処理は前報と全く同じである。ここでは省略する。表-1に実験の水理量を示す。求めた乱れ特微量は乱れの強さ \bar{U} , 最大粒子の径 a , パワースペクトル, エネルギー逸散率などであるが、後の二つは結果がばらつきの傾向が見られなかったので省略し、図-1, 2に乱れの強さを、図-3, 4に最大粒子の径を示す。

3)日野の理論式の修正 日野は固体微小粒子を浮遊した流れの乱れのエネルギー方程式として $P_a \cdot (\bar{U}^3 \cdot d\bar{U}/dy) \cdot \int_{y/h}^1 P_f \cdot \{1 + C(\gamma - 1)\}/P_a \cdot d(y/h) = a_1(1 - d^3 C)P_f \cdot \bar{U}^3 + P_f \cdot (\gamma - 1)C W_p^2 + L [diffusion] \dots (1)$ を導いた。ここで P_a : 断面平均密度, \bar{U} : 局所平均流速, $\bar{U} = \sqrt{\bar{U}^2}$, y : 底からの高さ, a_1 , C : 比例定数(≈ 1), P_f : 壓力の加速度, W_p : 粒子の相対運動によるエネルギー逸散項で、粒子1個当たりのそれを W_p とする $W_p = C/(\pi d^3/6) \cdot W_p^2$, $W_p = 9\pi \mu d (\bar{U}_p^2 - \bar{U}_f^2) = 9\pi \mu d \bar{U}_p^2 (1 - b^2)/(2\lambda_* + 1) \dots (2)$ である。ここで $a = 36\mu/(2P_f + P_f)$, $b = 3P_f/(2P_f + P_f)$, λ_* : ラグランジエのタイムスケール、また P_f はそれぞれ粒子、流体を示す。式(1)の左辺は、乱れが平均流から獲得するエネルギーで、右辺第一項は乱れのエネルギー逸散量、第二項は粒子の次障によるエネルギー逸散量である。つぎに $\lambda_* = d \cdot LE/\bar{U} = 0.4 LE/\bar{U}^3$ (LE : オイラーの費分スケール)で、 $LE \cdot 25 = 1$ より $\lambda_* = 0.16 L/\bar{U}$ となる。 $\bar{U} = \bar{U}_p$ と仮定し式(2)は $W_p = 75/8 \cdot (1 - b^2) \cdot (2\lambda_* + 1) P_f \cdot (\pi d^3/6) \cdot (d^3/L) \dots (3)$ となる。一方粒子と同体積の乱れのエネルギー逸散量 D は、式(1)の右辺第一項を用い、 $a_1 \approx 2.75$ として $D = 275 P_f \cdot (\pi d^3/6) \cdot (d^3/L) \dots (4)$ である。式(3), (4)より、中立粒子($\gamma=1$)の場合 $b=1/2$, $W_p=0$ となるが、 $P_f=2.5 P_f$ とすると $b=1/2$ で $D < W_p$ となる。乱れ計測には現在でもかなりの誤差を含んでいますし、またいろいろの仮定を設けているので、必ずしも $D < W_p$ とは言えないと知れない。しかし、日野のように W_p は D に比して小さくして無視するとは誤りである。また、式(2)の \bar{U}_p の計算に Lumley's の方法⁴⁾を用いると、 $\bar{U}_p = (3\lambda_* + 2/3 \cdot d^2 P_f / \mu \cdot dL/\lambda_*) \cdot P_f \cdot (\pi d^3/6) \cdot d^3/L \dots (5)$ となり $\lambda_* = 1$ の時でも $D < W_p$ となる。この式の括弧内は後の解析を容易にするため一先と仮定し、さらに流れは多孔の粒子を含む、これらが影響し合いエネルギー逸散量は増加すると言えられる。この増加に対する割合を式

表 - 1								
実験番号	1	2	3	4	5	6	7	8
粒 子	清水	カオリין	清水	ポリスチレン				
流量 Q (l/s)	20.6	20.6	20.8	22.2	21.4	20.8	34.7	35.2
体積濃度 C (%)	0.0	1.12	2.76	0.0	0.55	1.10	2.31	5.12
水深 h (cm)	9.2	9.1	9.2	9.5	9.3	9.2	9.2	9.3
物質濃度 C (ppm)	746	753	75.4	77.7	75.6	75.1	125.2	126.7
径深 R (cm)	5.7	5.7	5.7	5.8	5.8	5.7	5.7	5.7
フレード数 F	1.00	1.01	1.01	1.03	1.01	1.00	1.32	1.33
水温 T (°C)	25.0	30.3	28.5	24.1	26.1	24.3	21.0	9.3
動粘性係数 $\mu \times 10^4$ (cp)	3.97	7.79	8.30	9.15	5.77	7.01	9.33	13.35
摩擦係数 f	/	3.03	3.65	/	3.37	3.20	10.00	15.00
レインフローレー数 Re	4.74	5.32	5.07	4.95	4.90	4.63	7.16	4.94
粒径 d (μ)	0.25	0.25	0.25	0.25	0.25	0.25	0.55	0.55
粒径 D (μ)	0.34	2.35	5.29	0.33	0.32	0.32	6.32	6.32
無次元濃度 C	3.5	3.5	3.6	3.6	3.6	3.6	3.5	3.5

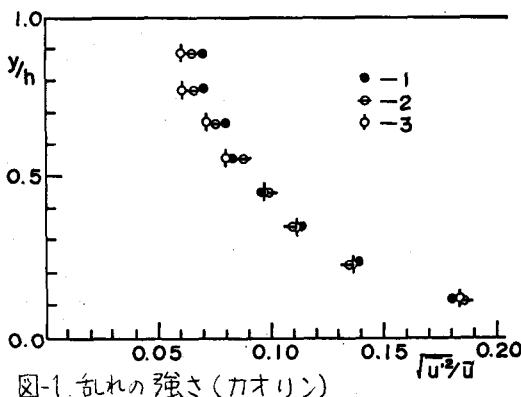


図-1. 乱れの強さ(カオリン)

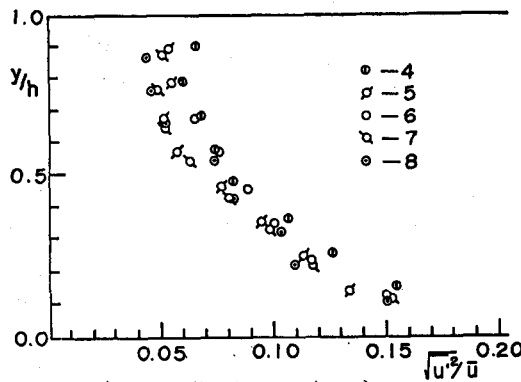


図-2. 乱れの強さ(ポリスチレン)

(5) 指弧内をひとおくと、 $\bar{W}_p = \bar{e}C\beta_1 \cdot \bar{\lambda}^3 \cdot L$ となる。この後の解析は \bar{W}_p を考え、式(1)の左辺第一項を $\alpha_1 \cdot (1 - \bar{\lambda}^3 C + \bar{e}C/\alpha_1) \cdot \bar{\lambda}^3 \cdot L$ と置き換えるだけで、日野の場合と全く同じで、結果を \hat{U} につけ記すと $L \cdot \bar{U}_m = (1 + \beta Ca)/2 \cdot [1 + \{1 + 4BK(1 + \beta Ca)S_1\}] \dots (6)$ $\hat{U}/\bar{U}_m = \sqrt{\bar{W}_p}/\sqrt{\bar{U}_m} = \{1/(1 - \bar{\lambda}^3 C + \bar{e}C/\alpha_1)\}^{3/2}$ $(\beta_1/\beta) \cdot [1 - 4KSS_1/(1 + \beta Ca) \cdot \{1 + (1 + 4BK(1 + \beta Ca)S_1)^{1/2}\}] \dots (7)$ である。ここに β , B ; 定数, Ca ; 街面平均濃度, K ; 静水流のカルマン定数, $\alpha_1 = \alpha \{1 + \frac{h}{\delta}(C - Ca)/Ca \cdot dy\}$, $\delta = \ln(h/\delta)/(ln(h/\delta) - 1)$, δ ; 油性底層の厚さ, $S_1 = g(\beta_1 - 1) \bar{V}_p \cdot (h - S)$. 流序 m は混相流を示す。

4) 実験結果の説明 表-1 および図-1～4 より全般的傾向としてつぎのことが言える。
 a) 亂れの強さは、両方の混相流とも清れ流のそれに對し、粒子の体積濃度の増加につれ減少する。
 b) 同じことが最大乱子の径、およびこれと比例関係にあると考えられるカルマン定数につけて言える。
 式(6), (7)における S_1 は両者の粒子とも非常に小さいので、 S_1 のかかっていける項は無視して上の結果を考へてみる。b)は $\beta > 0$ であるので、式(6)により説明ができる。式(6)で $\bar{U}_m > \hat{U}$ となるのは、 $eC/\alpha_1 > 1$ の時で、これは $\beta_1 = 1$, $\alpha_1 = 2.75$ であるので十分可能である。しかし日野が導いた式では、 \bar{W}_p うちわち \bar{U}_m と \hat{U} との差を小さくして無視してしまったので、式(6)の時は必ず $\bar{U}_m > \hat{U}$ となり、a)の結果は説明できない。しかし上の実験も多くの問題点を含んでいるので、今後なお一層の検討を要とする。

5) 参考文献 1) 余越・富井; 固液混相流の乱れ特性について、年譲、II-13, 1974, 2) M. Hino; Turbulent Flow with Suspended Particles, Proc. ASCE. Hyd. 1963. 3) 今本; 亂れ路の乱れ特性、水工研修会講義集、Aコース, 1976. 4) 余越・富井・井井; 混相乱れに関する二、三の考察、中部支部年譲、II-2, 1974.

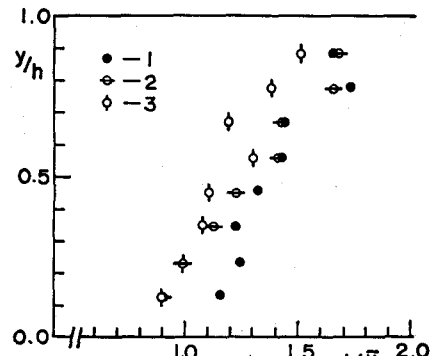


図-3. 最大乱子の径(カオリン)

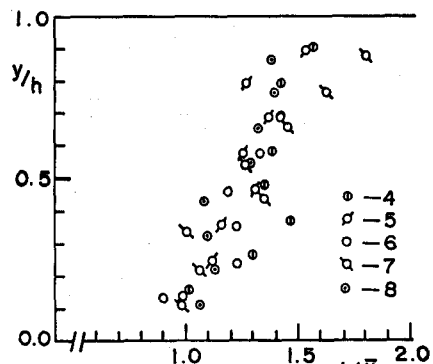


図-4. 最大乱子の径(ポリスチレン)